

РОССИЙСКАЯ АКАДЕМИЯ НАУК

СИБИРСКОЕ ОТДЕЛЕНИЕ

А В Т О М Е Т Р И Я

2007, том 43, № 3

УДК 535.41

ПЕРЕДАТОЧНЫЕ ФУНКЦИИ ИНТЕРФЕРОМЕТРА ФАБРИ – ПЕРО

С ИЗМЕНЯЮЩЕЙСЯ ВО ВРЕМЕНИ БАЗОЙ.

Ч. I. ОБЩАЯ ТЕОРИЯ*

А. П. Кольченко, В. С. Терентьев, Ю. В. Троицкий

Институт автоматики и электрометрии СО РАН, Новосибирск

E-mail: kolchenko@iae.nsk.su

Теоретически исследуется многолучевой интерферометр, зеркала которого совершают малые колебания. В приближении однородных плоских волн получено точное решение основного уравнения для такого интерферометра и выражения для его передаточных функций, т. е. обобщенных коэффициентов отражения и пропускания.

Введение. Интерес к многолучевым интерферометрам типа интерферометра Фабри – Перо (ИФП), длина базы которых меняется во времени из-за колебаний зеркал, в настоящее время связан главным образом с разработкой детекторов гравитационных волн [1, 2]. Для этого предполагается использовать ИФП с расстояниями между зеркалами от сотен метров до нескольких километров. Типичным для таких ИФП является динамический режим работы, характеризующийся тем, что поле в резонаторе не успевает «отслеживать» изменения длин их баз. В данном случае основными характеристиками ИФП являются не коэффициенты отражения и пропускания в обычном их понимании, а передаточные функции (ПФ), связывающие амплитуды отраженного (прошедшего) поля с амплитудой поля засветки (см., например, [3]). Однако при этом использовался только качественный подход, а именно эффекты от колебаний зеркал учитывались с помощью зависящих от времени фазовых множителей типа $\exp[i\delta(t)]$, искусственно вводимых в коэффициенты отражения зеркал. При таком подходе связь между $\delta(t)$ и функциями движения зеркал остается неизвестной.

Вместе с тем из общих соображений ясно, что единичный акт отражения света от зеркала следует считать практически мгновенным (как и для неподвижного зеркала), а эффекты от движения зеркал должны проявляться лишь через зависимость длительности обхода резонатора светом $\tau(t)$ от текущего момента времени t . В данной работе используется именно такой, физически более обоснованный, подход к вычислению ПФ, что позволяет установить

* Работа выполнена при поддержке Российского фонда фундаментальных исследований (грант № 04-02-16356).

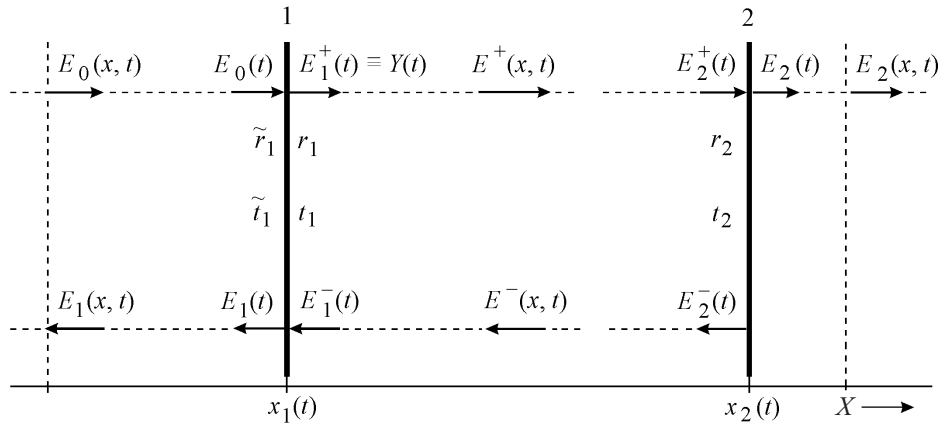


Схема интерферометра Фабри – Перо: $E_0(x, t)$ – волна засветки; $E_1(x, t)$ – отраженная волна; $E_2(x, t)$ – прошедшая волна; $E_j^\pm(t) \equiv E^\pm(x_j(t), t)$ – амплитуды волн на зеркалах; r_j , t_j и \tilde{r}_j , \tilde{t}_j – коэффициенты отражения и пропускания зеркал изнутри и снаружи интерферометра соответственно ($j = 1, 2$)

однозначную связь между выходным излучением ИФП и функциями движения зеркал.

Постановка задачи и решение основного уравнения. Будем исходить из простой модели ИФП (схема представлена на рисунке) – два плоских зеркала расположены в плоскостях $x_1(t)$ и $x_2(t)$ перпендикулярно оси X .

Ограничимся только колебательным движением зеркал вдоль оси X . В этом случае функции движения зеркал $x_j(t)$ всегда можно записать в виде

$$\begin{aligned} x_j(t) &= x_j + \delta x_j(t), \\ \delta x_j(t) &= \delta x_j f_j(t), \quad \delta x_j \geq 0, |f_j(t)| \leq 1 \quad (j=1,2), \end{aligned} \tag{1}$$

где x_j – средняя координата зеркала; δx_j – амплитуда его колебаний; $f_j(t)$ – некоторая вещественная функция времени. Поле засветки $E_0(x, t)$ считаем направленным вдоль оси X . (Смысл остальных обозначений ясен из рисунка и подписи к нему.)

Полагаем, что световое поле внутри и вне резонатора – однородные плоские волны, для которых справедливо фурье-представление

$$E^\pm(x, t) \equiv E^\pm(t - x/c) = \int_{-\infty}^{+\infty} E^\pm(\omega) \exp(\pm i\kappa x - i\omega t) d\omega \quad (\omega \equiv ck), \tag{2}$$

где $E^\pm(\omega)$ – спектральная плотность волны, c – скорость света. В частности, для поля засветки имеем

$$E_0(x, t) = \int_{-\infty}^{+\infty} E_0(\omega) \exp(i\kappa x - i\omega t) d\omega \quad (\omega \equiv ck). \tag{3}$$

Из (2) легко установить, что амплитуды волн на зеркалах будут связаны соотношениями

$$E_1^-(t) = E_2^-(t - \tau_-(t)); \quad E_2^+(t) = E_1^+(t - \tau_+(t)). \quad (4)$$

Времена пробега волн между зеркалами $\tau_{\pm}(t)$ определяются очевидными уравнениями

$$c\tau_+(t) = x_2(t) - x_1(t - \tau_+(t)); \quad c\tau_-(t) = x_2(t - \tau_-(t)) - x_1(t). \quad (5)$$

Здесь t – момент «прихода» волны на второе и первое зеркало.

Считаем также, что для полей на зеркалах имеют место обычные (как и для неподвижных зеркал) граничные условия:

$$E_1^+(t) = \tilde{t}_1 E_0(t) + r_1 E_1^-(t); \quad E_2^-(t) = r_2 E_2^+(t); \quad (6)$$

$$E_0(t) = E_0(x_1(t), t), \quad E_j^{\pm}(t) = E^{\pm}(x_j(t), t) \quad (j=1,2).$$

Основанием для этого является малость отношения скорости зеркала к скорости света (условие медленности колебаний зеркал):

$$\eta = |v|/c \ll 1, \quad (7)$$

которое, как правило, всегда выполняется. В этом случае доплеровское смещение частоты при отражении света от движущегося зеркала относительно мало по сравнению с ее изменением из-за зависимостей $\tau_{\pm}(t)$.

Делая круговой обход против часовой стрелки (от первого зеркала в момент t ко второму и обратно (см. рисунок)) и используя (4) и (6), для поля на первом зеркале получим уравнение в конечных разностях:

$$Y(t) = Q(t) + rY(t - \tau(t)), \quad (8)$$

$$Y(t) \equiv E_1^+(t), \quad Q(t) = \tilde{t}_1 E_0(t), \quad r = r_1 r_2, \quad \tau(t) = \tau_-(t) + \tau_+(t - \tau_-(t)).$$

Здесь параметр $\tau(t)$ – длительность одного кругового обхода резонатора светом с учетом движения зеркал.

Если $Y(t)$ найдено, то с помощью (4) и (6) остальные поля вычисляются по следующим формулам:

$$E_1^+(t) \equiv Y(t);$$

$$E_2^+(t) \equiv E_1^+(t - \tau_+(t)) = Y(t - \tau_+(t)); \quad E_2^-(t) \equiv r_2 E_2^+(t) = r_2 Y(t - \tau_+(t));$$

$$E_1^-(t) \equiv E_2^-(t - \tau_-(t)) = r_2 Y(t - \tau(t)); \quad (9)$$

$$E_1(t) = \tilde{r}_1 E_0(t) + t_1 E_1^-(t) = \tilde{r}_1 E_0(t) + (r_2 t_1) Y(t - \tau(t));$$

$$E_2(t) = t_2 E_2^+(t) = t_2 Y(t - \tau_+(t)).$$

Здесь $\tau_{\pm}(t)$ определяются уравнениями (5).

Отраженное от ИФП поле $E_1(x, t)$ в некоторой x -плоскости перед первым зеркалом и прошедшее через ИФП поле $E_2(x, t)$ в некоторой другой x -плоскости за вторым зеркалом задаются выражениями

$$E_1(x, t) = E_1(t - \tau_1(x, t)); \quad E_2(x, t) = E_2(t - \tau_2(x, t)), \quad (10)$$

где $\tau_j(x, t)$ находятся из уравнений

$$\begin{aligned} c\tau_1(x, t) &= x_1(t - \tau_1(x, t)) - x \quad (x \leq x_1(t)); \\ c\tau_2(x, t) &= x - x_2(t - \tau_2(x, t)) \quad (x \geq x_2(t)). \end{aligned} \quad (11)$$

Очевидно, что при $x = x_j(t)$ эти уравнения имеют нулевые решения.

Ограничимся наиболее интересным и важным с точки зрения практических приложений случаем малых колебаний зеркал, когда характерное изменение длины резонатора δL мало по сравнению с ее средним значением:

$$h = \delta L / L \ll 1, \quad \delta L = (\delta x_1 + \delta x_2), \quad L = |x_1 - x_2|. \quad (12)$$

В этом приближении решение уравнений (5) с точностью до h -поправок определяется следующими формулами:

$$\begin{aligned} \tau_{\pm}(t) &= \tau/2 + (h\tau)f_{\pm}(t), \\ f_+(t) &= 0,5[g_2f_2(t) - g_1f_1(t - \tau/2)], \quad f_-(t) = 0,5[g_2f_2(t - \tau/2) - g_1f_1(t)], \quad (13) \\ \tau &= 2L/c, \quad |f_{\pm}(t)| \leq 1/2, \quad g_j = \delta x_j / \delta L, \quad 0 \leq g_j \leq 1 \quad (j = 1, 2). \end{aligned}$$

Здесь в правых частях для $\tau_{\pm}(t)$ пренебрегаем малыми слагаемыми порядка (ηh) в силу условий (7) и (12). При этом для $\tau(t)$ получаем

$$\begin{aligned} \tau(t) &= \tau + (h\tau)f(t), \\ f(t) &\equiv [f_-(t) + f_+(t - \tau/2)] = \\ &= \{g_2f_2(t - \tau/2) - (g_1/2)[f_1(t - \tau) + f_1(t)]\}, \quad |f(t)| \leq 1, \end{aligned} \quad (14)$$

где g_1 и g_2 определены в (13).

Решения уравнений (11) в этом же приближении задаются формулами

$$\begin{aligned} \tau_1(x, t) &= \tau_1(x) + \delta x_1(t - \tau_1(x))/c, \quad \tau_1(x) = |x_1 - x|/c; \\ \tau_2(x, t) &= \tau_2(x) - \delta x_2(t - \tau_2(x))/c, \quad \tau_2(x) = |x - x_2|/c. \end{aligned} \quad (15)$$

При $x = x_j(t)$ следует полагать $\delta x_j(t - \tau_j(x)) \equiv 0$ в соответствии с пояснениями к формуле (11).

Очевидно, что в данном h -приближении в аргументах всех функций $\delta x_j(\dots)$ h -поправки должны быть отброшены. С учетом этого замечания

решение уравнения (8) с нулевым начальным условием определяется формулами:

$$\begin{aligned}
 Y(t) &= \int_{-\infty}^{+\infty} Y(t|\omega) d\omega, \\
 Y(t|\omega) &= [\tilde{t}_1 E_0(\omega) \exp(i\kappa x_1)] S(t|\omega) \exp(-i\omega t), \quad \omega = c\kappa, \quad \kappa = 2\pi/\lambda, \\
 S(t|\omega) &= \sum_{n=0}^{N(t)} [r \exp(i\omega\tau)]^n \exp[i\varepsilon p_n(t) + i\varepsilon_1 f_1(t-n\tau)], \quad p_n(t) = \sum_{s=0}^{n-1} f(t-s\tau), \\
 \varepsilon &= 2\kappa\delta L = h\omega\tau \equiv 4\pi\delta L/\lambda, \quad \varepsilon_1 = \kappa\delta x_1 = h_1\omega\tau/2, \\
 h_1 &= \delta x_1/L, \quad r = r_1 r_2, \quad N(t) = [(t-t_0)/\tau],
 \end{aligned} \tag{16}$$

где t_0 – начальный момент времени (момент появления засветки на первом зеркале). Квадратные скобки в правой части формулы для $N(t)$ обозначают целую часть заключенного в них числа, т. е. $N(t)$ – это целое число интервалов τ на промежутке $(t-t_0)$. В пределе больших времен ($t_0 \rightarrow -\infty$), когда режим работы ИФП можно считать установившимся, следует считать $N(t) = \infty$.

Передаточные функции. Подставляя решение (16) в формулы (9), для $E_1(t)$ и $E_2(t)$ получим

$$E_j(t) = \int_{-\infty}^{+\infty} \Pi_j(t|\omega) [E_0(\omega) \exp(i\kappa x_1 - i\omega t)] d\omega \equiv \int_{-\infty}^{+\infty} E_j(t, \omega) d\omega \quad (j=1,2). \tag{17}$$

Ядра этих интегралов

$$\begin{aligned}
 \Pi_1(t|\omega) &= \tilde{r}_1 \exp[i\varepsilon_1 f_1(t)] + (\tilde{t}_1 r_2 t_1) S(t-\tau|\omega) \exp[i\omega\tau + i\varepsilon f(t)]; \\
 \Pi_2(t|\omega) &= (\tilde{t}_1 t_2) S(t-\tau/2|\omega) \exp[i\omega\tau/2 + i\varepsilon f_+(t)]
 \end{aligned} \tag{18}$$

имеют смысл ПФ для ИФП в соответствии с их классическим определением для линейного четырехполюсника [4, 5].

Поля вне зеркал вычисляются по формулам (10), (15). С точностью до h -поправок получаем

$$E_j(x, t) = \int_{-\infty}^{+\infty} \Pi_{jx}(t - \tau_j(x)|\omega) [E_0(\omega) \exp(-i\kappa x - i\omega t)] d\omega \quad (j=1,2), \tag{19}$$

где $\Pi_{jx}(t - \tau_j(x)|\omega)$ – ПФ по отношению к x -плоскости:

$$\begin{aligned}
 \Pi_{2x}(t|\omega) &= (\tilde{t}_1 t_2) S(t-\tau/2|\omega) \exp[-i\kappa\delta x_1(t-\tau/2)]; \\
 \Pi_{1x}(t|\omega) &= \tilde{r}_1 \exp[2i\kappa x_1(t)] + (\tilde{t}_1 r_2 t_1) S(t-\tau|\omega) \times \\
 &\quad \times \exp[2i\kappa x_2(t-\tau/2) - i\kappa\delta x_1(t-\tau)].
 \end{aligned} \tag{20}$$

В наземных лабораторных условиях x -плоскость обычно удалена от ИФП на сравнительно малое расстояние, так что можно пренебречь эффектами запаздывания и считать $\tau_j(x) = 0$, т. е. вместо (19) использовать формулы (17). Однако для «космических» интерферометров с расстояниями между зеркалами порядка сотен тысяч и более километров эффекты запаздывания могут оказаться существенными.

Спектральное представление ПФ. Для случая, когда характерные (основные) периоды колебаний зеркал одинаковы ($T_1 = T_2 = T$), функцию $S(t|\omega)$ в (16) можно представить в виде бесконечного ряда

$$\begin{aligned} S(t|\omega) &= \sum_m S_m(t|\omega) \exp(-im\Omega t), \\ S_m(t|\omega) &= \sum_{n=0}^{N(t)} S_m(n|\omega), \\ S_m(n|\omega) &= T^{-1} \int_{-T/2}^{+T/2} S(n, t|\omega) \exp(im\Omega t) dt \equiv \mathcal{F}_m\{S(n, t|\omega)\}, \quad (21) \\ S(n, t|\omega) &= [r \exp(i\omega\tau)]^n \exp[i\varepsilon p_n(t) + i\varepsilon_1 f_1(t - n\tau)], \\ \Omega &= 2\pi/T \quad (m=0, \pm 1, \pm 2, \dots) \end{aligned}$$

($\mathcal{F}_m\{S(n, t|\omega)\}$ – фурье-образ функции $S(n, t|\omega)$). Следовательно, ПФ в (17) представимы в виде таких же рядов:

$$\begin{aligned} \Pi_j(t|\omega) &= \sum_m \Pi_{jm}(t|\omega) \exp(-im\Omega t) \quad (j=1, 2), \\ \Pi_{1m}(t|\omega) &= \tilde{r}_1 C_m(\omega) + (\tilde{t}_1 r_2 t_1) A_m(t|\omega), \quad \Pi_{2m}(t|\omega) = (\tilde{t}_1 t_2) B_m(t|\omega), \\ C_m(\omega) &= \mathcal{F}_m\{C(t)\}, \quad C(t) = \exp[i\varepsilon f(t)], \quad (22) \\ A_m(t|\omega) &= \sum_{n=0}^{N(t)} A_m(n|\omega), \quad A_m(n|\omega) = \mathcal{F}_m\{A(n, t|\omega)\}, \\ A(n, t|\omega) &= S(n, t - \tau|\omega) \exp[i\varepsilon f(t) + i\omega\tau], \quad B_m(t|\omega) = \sum_{n=0}^{N(t)} B_m(n|\omega), \end{aligned}$$

$$B_m(n|\omega) = \mathcal{F}_m\{B(n, t|\omega)\}, \quad B(n, t|\omega) = S(n, t - \tau/2|\omega) \exp[i\varepsilon f_+(t) + i\omega\tau/2],$$

т. е. (17) запишется в виде

$$E_j(t) = \sum_m \int_{-\infty}^{+\infty} E_{jm}(t|\omega) \exp(-i\omega_m t) d\omega \quad (j=1, 2), \quad (23)$$

$$E_{jm}(t|\omega) = \Pi_{jm}(t|\omega) [E_0(\omega) \exp(i\kappa x_1)], \quad \omega_m = \omega + m\Omega \quad (m=0, \pm 1, \pm 2, \dots).$$

Такая запись отражает тот очевидный факт, что колебания зеркал приводят к угловой (фазовой) модуляции волн в резонаторе, и поэтому полное поле внутри ИФП будет состоять из бесконечной дискретной совокупности волн с частотами ω_m . Функции $\Pi_{jm}(t|\omega)$ выступают в качестве ПФ по соответствующим каналам $\omega \rightarrow \omega_m$, и именно они представляют непосредственный интерес.

Если характерные периоды колебаний зеркал разные (несоизмеримые), то будут возникать волны на комбинационных частотах ω_{mk} и вместо (23) получится двойной ряд:

$$E_j(t) = \sum_{m, k} \int_{-\infty}^{+\infty} E_{jmk}(t|\omega) \exp(-i\omega_{mk} t) d\omega \quad (j=1,2),$$

$$E_{jmk}(t|\omega) = \Pi_{jmk}(t|\omega) [E_0(\omega) \exp(i\kappa x_1)], \quad (24)$$

$$\omega_{mk} = \omega + (m\Omega_1 + k\Omega_2) \quad (m, k = 0, \pm 1, \pm 2, \dots).$$

Здесь $\Pi_{jmk}(t|\omega)$ вычисляются по формулам (22) с заменой в них Ω величиной $\Omega_{mk} = (m\Omega_1 + k\Omega_2)$.

Заключение. Таким образом, в представленной работе получены новые выражения для ПФ интерферометра. В отличие от известных (см., например, [3]), они определяются через точное (в данном приближении) решение основного уравнения (8). В этом решении фазы $p_n(t)$ и $f_1(t - n\tau)$ явным и однозначным образом выражаются через функции (законы) движения зеркал $f_{1,2}(t)$. Кроме того, в нем явно учтена зависимость верхнего предела суммы $N(t)$ от времени. Все это дает возможность проводить не только качественное, но и количественное сравнение расчетных и экспериментальных данных для ПФ.

В работе также изложен систематический подход к решению задачи и получены общие выражения для ПФ. Расчеты ПФ для конкретных ситуаций будут рассматриваться в других работах.

СПИСОК ЛИТЕРАТУРЫ

1. Брагинский В. Б. Гравитационно-волновая астрономия: новые методы измерений // УФН. 2000. **170**, № 7. С. 743.
2. Mason J. E. Signal Extraction and Optical Design for an Advanced Gravitational Wave Interferometer. Pasadena, California: California Institute of Technology, 2001.
3. Redding D., Regehr M., Sievers L. Dynamic models of Fabry – Perot interferometers // Appl. Opt. 2002. **41**, N 15. P. 2894.
4. Гоноровский И. С. Радиотехнические цепи и сигналы. М.: Радио и связь, 1986.
5. Троицкий Ю. В. Многолучевые интерферометры отраженного света. Новосибирск: Наука, 1985.

Поступила в редакцию 9 ноября 2005 г.